

(本试剂盒仅供体外研究使用， 不用于临床诊断！)

产品货号：E-BC-K027-S

产品规格：50 assays(36 samples)/ 100 assays(86 samples)

检测仪器：紫外-可见光分光光度计(532 nm)

Elabscience[®]丙二醛(MDA)比色法测试盒(测植物)

Malondialdehyde (MDA) Colorimetric

Assay Kit (Plant Samples)

使用前请仔细阅读说明书。如果有任何问题，请通过以下方式联系我们：

电话：400-999-2100

邮箱：biochemical@elabscience.cn

网址：www.elabscience.cn

具体保质期请见试剂盒外包装标签。请在保质期内使用试剂盒。

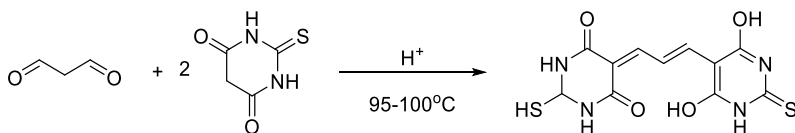
联系时请提供产品批号(见试剂盒标签)，以便我们更高效地为您服务。

用途

本试剂盒适用于检测植物组织中的 MDA 含量。

检测原理

过氧化脂质降解产物中的丙二醛(MDA)在高温及酸性环境下可与硫代巴比妥酸(TBA)反应红棕色产物 3,3,5'-三甲基恶唑 2,4-二酮(三甲川)，该物质在 532 nm 处有最大吸收峰，其颜色的深浅与 MDA 含量呈正比，通过比色法可计算出 MDA 含量。其检测原理如下图。



提供试剂和物品

编号	名称	规格 1(Size 1) (50 assays)	规格 2(Size 2) (100 assays)	保存方式 (Storage)
试剂一 (Reagent 1)	澄清剂 (Clarificant)	3 mL×1 瓶	6 mL×1 瓶	2-8 ℃ 保存 6 个月
试剂二 (Reagent 2)	酸试剂 (Acid Reagent)	45 mL×2 瓶	60 mL×3 瓶	2-8 ℃ 保存 6 个月
试剂三 (Reagent 3)	显色剂 (Chromogenic Agent)	30 mL×1 瓶	60 mL×1 瓶	2-8℃避光 保存 6 个月
试剂四 (Reagent 4)	200 nmol/mL 标准品 (200 nmol/mL Standard)	5 mL×1 瓶	5 mL×1 瓶	2-8 ℃ 保存 6 个月
试剂五 (Reagent 5)	10×提取液 (10×Concentrated Extraction Solution)	60 mL×1 瓶	60 mL×1 瓶	2-8 ℃ 保存 6 个月

说明：试剂严格按照上表中的保存条件保存，不同测试盒中的试剂不能混用。

对于体积较少的试剂，使用前请先离心，以免量取不到足够量的试剂。

所需自备物品

仪器：紫外-可见光分光光度计(532 nm)、恒温水浴锅(100 ℃)。

试剂：无水乙醇(AR)。

试剂准备

① 检测前，试剂盒中的试剂平衡至室温。

② 试剂一2-8 ℃存放时会凝固，使用前37 ℃加热，直到透明方可使用。

③ 工作液的配制：

按试剂一：试剂二：试剂三为0.1: 3: 1的体积比混匀，现用现配，2-8 ℃避光条件下可保存7天。

④ 试剂五应用提取液的配制：

按试剂五：双蒸水为1: 9的体积比混匀即可，现用现配。

⑤ 不同浓度标准品的稀释：

编号	①	②	③	④	⑤	⑥	⑦
标准品浓度(nmol/mL)	0	15	35	55	75	100	120
200 nmol/mL 标准品(μL)	0	75	175	275	375	500	600
无水乙醇 (μL)	1000	925	825	725	625	500	400

样本准备

① 样本处理

组织样本：常规匀浆处理(匀浆介质为试剂五应用提取液)。

② 样本的稀释

在正式检测前，需选择2-3个预期差异大的样本稀释成不同浓度进行预实验，根据预实验的结果，结合本试剂盒的线性范围：0.17-120 nmol/mL，请参考下表稀释(仅供参考)：

样本	稀释倍数	样本	稀释倍数
10% 绿萝匀浆	不稀释	10% 青椒匀浆	不稀释
10% 苦瓜匀浆	不稀释	10% 茄子匀浆	不稀释

注：稀释液为试剂五应用提取液。

实验关键点

- ① 水浴反应 40 min 时温度要控制在 95-100°C。
- ② 水浴反应中，不可直接盖紧 EP 管，应用保鲜膜封紧试管口并在保鲜膜上扎气孔。

操作步骤

- ① 标准管：取 100 μL 7 个不同浓度的标准品，分别加入对应的 5 mL EP 管中。
样本管：取 100 μL 待测样本，加入 5 mL EP 管。
- ② 向步骤①中各管加入 2 mL 工作液。
- ③ 涡旋混匀，EP 管口用保鲜膜扎紧，并在保鲜膜上扎一个小孔，95°C 以上水浴 40 min。
- ④ 取出后流水冷却至室温， $2000 \times g$ 离心 10 min。
- ⑤ 取上清液加入 1 cm 光径石英比色皿，紫外分光光度计波长 532 nm 处，双蒸水调零，测定其 OD 值。

操作表

	标准管	测定管
不同浓度的标准品溶液(μL)	100	
待测样本(μL)		100
工作液(μL)	2000	2000

涡旋混匀后，EP 管口用保鲜膜扎紧，并扎一个小孔，95°C 以上水浴 40 min。取出后流水冷却至室温， $2000 \times g$ 离心 10 min。取上清液加入 1 cm 光径石英比色皿中，紫外分光光度计波长 532 nm 处，双蒸水调零，测定其 OD 值。

结果计算

标准品拟合曲线: $y = ax + b$

$$\text{MDA} \text{ (nmol/g)} = (\Delta A_{532} - b) \div a \times f \div \frac{m}{V}$$

注解:

y: 标准品 OD 值-空白 OD 值(标准品浓度为 0 的 OD 值)

x: 标准品的浓度

ΔA_{532} : 样本 OD 值-空白 OD 值

a: 标曲的斜率

b: 标曲的截距

f: 样本加入检测体系之前的稀释倍数

m: 植物组织样本重量(g)

V: 样本处理过程中加入试剂五提取应用液的体积(mL)

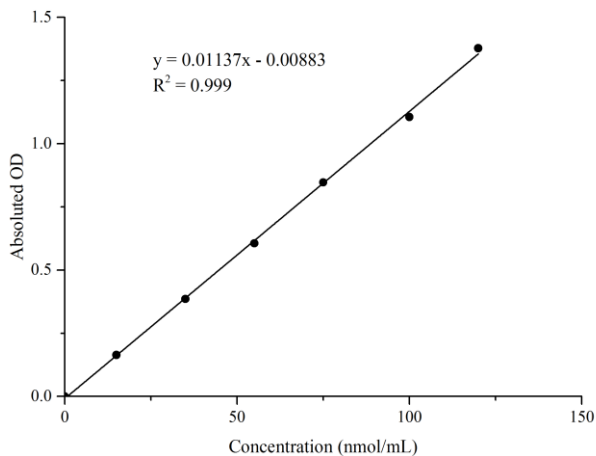
附录1 关键数据

1. 技术参数

检测范围	0.17-120 nmol/mL	平均批间差	6.1 %
灵敏度	0.17 nmol/mL	平均批内差	2.2 %
平均回收率	95 %		

2. 标准曲线(数据仅供参考)

标准曲线(数据仅供参考):



附录2 实例分析

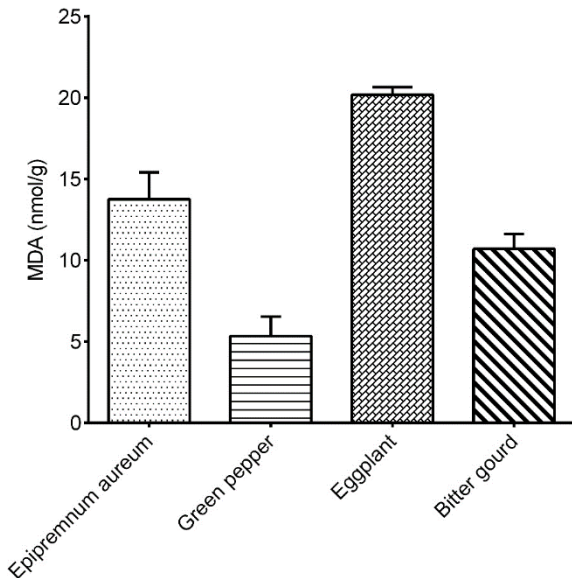
例如检测绿萝样本(数据仅供参考):

取10%绿萝上清液0.1 mL, 按操作表操作, 结果如下:

标准曲线: $y = 0.0114x - 0.0041$, 空白孔平均OD值为0.008, 测定孔平均值为0.021, 计算结果为:

$$\text{MDA}(\text{nmol/g}) = (0.021 - 0.008 + 0.0041) \div 0.0114 \div \frac{0.1}{0.9} = 13.5 \text{ nmol/g}$$

按说明书操作, 测定10%绿萝匀浆(加样量100 μL)、10%青椒匀浆(加样量100 μL)、10%茄子匀浆(加样量100 μL)、10%苦瓜匀浆(加样量100 μL)中的MDA含量(如下图):



附录3 问题答疑

问题	可能原因	建议解决方案
样本和标准品显色很低	水浴时间太短	保证充足的水浴时间
	水浴温度较低	严格控制水浴温度 95-100°C
样本测不出值	样本稀释倍数太大	选择合适的稀释倍数，重新检测
	样本保存时间过长或保存不当	取新鲜样本，重新检测
样本测量结果 > 120 nmol/mL	样本浓度太高	适当稀释样本，重新检测

声明

1. 试剂盒仅供研究使用，如将其用于临床诊断或任何其他用途，我公司将不对因此产生的问题负责，亦不承担任何法律责任。
2. 实验前请仔细阅读说明书并调整好仪器，严格按照说明书进行实验。
3. 实验中请穿着实验服并戴乳胶手套做好防护工作。
4. 试剂盒检测范围不等同于样本中待测物的浓度范围。如果样品中待测物浓度过高或过低，请对样本做适当的稀释或浓缩。
5. 若所检样本不在说明书所列样本类型之中，建议先做预实验验证其检测有效性。
6. 最终的实验结果与试剂的有效性、实验者的相关操作以及实验环境等因素密切相关。本公司只对试剂盒本身负责，不对因使用试剂盒所造成的样本消耗负责，使用前请充分考虑样本可能的使用量，预留充足的样本。

附录4 客户发表文献

1. Du S, Zhou N, Xie G, et al. Surface-engineered triboelectric nanogenerator patches with drug loading and electrical stimulation capabilities: Toward promoting infected wounds healing[J]. *Nano Energy*, 2021, 85:106004. IF:17.087
2. Bartolini D, Arato I, Mancuso F, et al. Melatonin modulates Nrf2 activity to protect porcine pre-pubertal Sertoli cells from the abnormal H₂O₂ generation and reductive stress effects of cadmium. *J Pineal Res.* 2022;73 (1):e12806. IF:13.007
3. Yang Z, Wang J, Ai S, et al. Self-generating oxygen enhanced mitochondrion-targeted photodynamic therapy for tumor treatment with hypoxia scavenging[J]. *Theranostics*, 2019, 9(23): 6809. IF:11.556
4. Wan Q, Cao R, Wen G, et al. Sequential use of UV-LEDs irradiation and chlorine to disinfect waterborne fungal spores: Efficiency, mechanism and photoreactivation[J]. *Journal of Hazardous Materials*, 2022, 423:127102-. IF:10.588
5. Tian J, Wang L, Hui S, et al. Cadmium accumulation regulated by a rice heavy-metal importer is harmful for host plant and leaf bacteria. *J Adv Res.* 2022. IF:10.479
6. Jg A, Jie S B, Jy B, et al. Comparative toxicity reduction potential of UV/sodium percarbonate and UV/hydrogen peroxide treatments for bisphenol A in water: An integrated analysis using chemical, computational, biological, and metabolomic approaches[J]. *Water Research*, 2020, 190. IF:9.702
7. Yang X X, Xu X, Wang M F, et al. A nanoreactor boosts chemodynamic therapy and ferroptosis for synergistic cancer therapy using molecular amplifier dihydroartemisinin[J]. *Journal of Nanobiotechnology*, 2022, 20(1):1-19. IF:9.464
8. Liu Z, Liu X, Yang Q, et al. Neutrophil membrane-enveloped nanoparticles for the amelioration of renal ischemia-reperfusion injury in mice[J]. *Acta Biomaterialia*, 2020, 104: 158-166. IF:8.947
9. Huang S, Le H, Hong G, et al. An all-in-one biomimetic iron-small interfering RNA nanoplateform induces ferroptosis for cancer therapy. *Acta Biomater.* 2022;148:244-257. IF:8.291
10. Alharbi YM, Sakr SS, Albarak SM, et al. Antioxidative, Antidiabetic, and Hypolipidemic Properties of Probiotic-Enriched Fermented Camel Milk Combined with Salvia officinalis Leaves Hydroalcoholic Extract in Streptozotocin-Induced Diabetes in Rats. *Antioxidants (Basel)*. 2022;11 (4):. IF:7.675

11. Wang H, Huang Q, Zhang Z, et al. Transient post-operative overexpression of CXCR2 on monocytes of traumatic brain injury patients drives monocyte chemotaxis toward cerebrospinal fluid and enhances monocyte-mediated immunogenic cell death of neurons in vitro[J]. Journal of Neuroinflammation, 2022. IF:7.573
12. Liu P, Yin Z, Chen M, et al. Cytotoxicity of adducts formed between quercetin and methylglyoxal in PC-12 cells[J]. Food Chemistry, 2021, 352(2):129424. IF:7.514
13. Adhikari B, Adhikari M, Ghimire B, et al. Cold plasma seed priming modulates growth, redox homeostasis and stress response by inducing reactive species in tomato (*Solanum lycopersicum*)[J]. Free Radical Biology and Medicine, 2020, 156: 57-69. IF:7.376
14. Zhao X, Wang C, Dai S, et al. Quercetin Protects Ethanol-Induced Hepatocyte Pyroptosis via Scavenging Mitochondrial ROS and Promoting PGC-1 α -Regulated Mitochondrial Homeostasis in L02 Cells. Oxid Med Cell Longev. 2022;2022:4591134. IF:7.31
15. Chagas TQ, Freitas N, Montalvão MF, Nobrega RH, Machado MRF, Charlie-Silva I, Araújo APDC, Guimarães ATB, Alvarez TGDS, Malafaia G. Multiple endpoints of polylactic acid biomicroplastic toxicity in adult zebrafish (*Danio rerio*)[J]. Chemosphere. 2021 Aug;277:130279. IF:7.086
16. Mlindeli Gamede, Lindokuhle Mabuza, Phikelelani Ngubane, et al. Preventing the onset of diabetes-induced chronic kidney disease during prediabetes: The effects of oleanolic acid on selected markers of chronic kidney disease in a diet-induced prediabetic rat model[J]. Biomedicine & Pharmacotherapy. 2021 Jul;139:111570. IF:6.529
17. Yang H, Zhu Y, Ye Y, et al. Nitric oxide protects against cochlear hair cell damage and noise-induced hearing loss through glucose metabolic reprogramming.[J]. Free radical biology & medicine, 2021. IF:6.525
18. Rao M J, Xu Y, Tang X, et al. CsCYT75B1, a Citrus CYTOCHROME P450 Gene, Is Involved in Accumulation of Antioxidant Flavonoids and Induces Drought Tolerance in Transgenic Arabidopsis[J]. Antioxidants & Redox Signaling, 2020, 9(2):161. IF:6.313
19. Liou G G, Hsieh C C, Lee Y J, et al. N-Acetyl Cysteine Overdose Inducing Hepatic Steatosis and Systemic Inflammation in Both Propacetamol-Induced Hepatotoxic and Normal Mice[J]. Antioxidants, 2021, 10(3):442. IF:6.312
20. Wang Y, Chi H, Xu F, et al. Cadmium chloride-induced apoptosis of HK-2 cells via interfering with mitochondrial respiratory chain[J]. Ecotoxicology and Environmental Safety, 2022, 236:113494-. IF:6.233
21. Obaid QA, Al-Shammari AM, Khudair KK. Glucose Deprivation Induced by Acarbose

- and Oncolytic Newcastle Disease Virus Promote Metabolic Oxidative Stress and Cell Death in a Breast Cancer Model. *Front Mol Biosci.* 2022;9:816510. IF:6.113
- 22. Abdel-Wahab BA, Walbi IA, Albarqi HA, Ali FEM, Hassanein EHM. Roflumilast protects from cisplatin-induced testicular toxicity in male rats and enhances its cytotoxicity in prostate cancer cell line. Role of NF- κ B-p65, cAMP/PKA and Nrf2/HO-1, NQO1 signaling[J]. *Food Chem Toxicol.* 2021 May;151:112133. IF:6.023
 - 23. Aljutaily T. Evaluating the Nutritional and Immune Potentiating Characteristics of Unfermented and Fermented Turmeric Camel Milk in Cyclophosphamide-Induced Immunosuppression in Rats. *Antioxidants (Basel).* 2022;11 (4):. IF:5.952
 - 24. Jabbari N, Nawaz M, Rezaie J. Ionizing Radiation Increases the Activity of Exosomal Secretory Pathway in MCF-7 Human Breast Cancer Cells: A Possible Way to Communicate Resistance against Radiotherapy[J]. *International Journal of Molecular Sciences,* 2019, 20(15):3649-. IF:5.923
 - 25. Shanmugarajan D, Girish C, Harivenkatesh N, et al. Antihypertensive and pleiotropic effects of Phyllanthus emblica extract as an add-on therapy in patients with essential hypertension—A randomized double-blind placebo-controlled trial[J]. *Phytotherapy Research,* 2021. IF:5.878
 - 26. Short-Chain Fatty Acid, Sodium Propionate, in Patients on Maintenance Hemodialysis: Beneficial Effects on Inflammatory Parameters and Gut-Derived Uremic Toxins, A Pilot Study (PLAN Study)[J]. *Journal of Clinical Medicine,* 2018. IF:5.688
 - 27. Peng J, Pan J, Mo J, et al. MPO/HOCl Facilitates Apoptosis and Ferroptosis in the SOD1 G93A Motor Neuron of Amyotrophic Lateral Sclerosis. *Oxid Med Cell Longev.* 2022;2022:8217663. IF:5.604
 - 28. Treadmill Exercise Alleviates Brain Iron Dyshomeostasis Accelerating Neuronal Amyloid- β Production, Neuronal Cell Death, and Cognitive Impairment in Transgenic Mice Model of Alzheimer's Disease[J]. *Molecular neurobiology,* 2021, 58(7):3208-3223. IF:5.59
 - 29. Aboulhoda, B. E., Rashed, L. A., Ahmed, H., et al. Hydrogen sulfide and mesenchymal stem cells-extracted microvesicles attenuate LPS-induced Alzheimer's disease[J]. *Journal of Cellular Physiology,* 2021, 236(8):5994-6010 IF:5.546
 - 30. Liu W, Jia H, Guan M, et al. Discovery of novel tubulin inhibitors targeting the colchicine binding site via virtual screening, structural optimization and antitumor evaluation. *Bioorg Chem.* 2022;118:105486. IF:5.508